

Minerały wtórne z kopalni Breiner (Maramureş, Rumunia) jako przykład tworzącej się współcześnie mineralizacji wtórnej

Anna Januszewska^{1,2}, Łukasz Kruszewski³, Rafał Siuda¹



A. Januszewska

Ł. Kruszewski

Secondary minerals from the Breiner mine (Maramureş, Romania) as an example of recently formed secondary mineralization. Prz. Geol., 71: 174–178; doi: 10.7306/2023.10

A b s t r a c t. The former gold and silver mine of Breiner, is located in the village of Băiuț, in the mining area of Băiuț-Tibleș (Maramureş, Romania). The local polymetallic occurrences are characterized by a rich sulfide (Cu, Pb, Zn sulfides/sulfosalts) and arsenic mineralization. While the primary mineralization is relatively well known, the diverse paragenesis of secondary mineralization has never been the subject of detailed research. Based on diffraction studies, several species of weathered minerals have been identified, most of which have never been reported in the study area before. The dominant minerals in the mine belong to the melanterite and halotrichite groups. The occurrence of rare phases on a global scale has also been observed – zaherite $Al_{12}(SO_4)_5(OH)_{26} \cdot 20H_2O$, tooeelite $Fe_6(As^{3+}O_3)_4(SO_4)(OH)_4 \cdot 4H_2O$ and wattevilleite – a species with uncertain chemistry, possibly $Na_2Ca(SO_4)_2 \cdot 4H_2O$. The formation of these parageneses is related to currently occurring weathering processes of primary ore mineralization that undergoes decomposition under low pH conditions.

Keywords: secondary minerals, Breiner mine, tooeelite, wattevilleite, zaherite

Dawna kopalnia złota i srebra Breiner jest zlokalizowana w Băiuț, na obszarze górnictwym Băiuț-Tibleș (Maramureş, Rumunia). Tamtejsze wystąpienia polimetaliczne wyróżniają się bogatą mineralizacją siarczkową (siarczki/siarkosole Cu, Pb, Zn) i arsenową. O ile mineralizacja pierwotna jest relatywnie dobrze poznana, to zróżnicowane paragenezy mineralizacji wtórnej nie były nigdy przedmiotem dokładniejszych badań. Na podstawie badań dyfrakcyjnych zidentyfikowano kilkanaście gatunków minerałów wietrzeniowych, z których większość nigdy wcześniej nie była notowana na obszarze badań. Dominującymi w kopalni są minerały z grupy melanterytu oraz halotrichitu. Stwierdzono także występowanie faz rzadkich w skali świata – zahertytu $Al_{12}(SO_4)_5(OH)_{26} \cdot 20H_2O$, tooeelitu $Fe_6(As^{3+}O_3)_4(SO_4)(OH)_4 \cdot 4H_2O$ oraz wattevilleitu, o wciąż niepewnym chemizmie, przypuszczalnie $Na_2Ca(SO_4)_2 \cdot 4H_2O$. Powstanie opisywanych paragenez jest związane ze współcześnie zachodzącymi procesami wietrzenia pierwotnej mineralizacji rudnej, która ulega rozkładowi w warunkach niskiego pH.

Procesy wietrzenia rud siarczkowych bogatych w arsen i metale ciężkie zachodzą intensywnie w stosunkowo niedawno zamkniętych kopalniach okolic Baia Mare (region Maramureş) w Rumunii (ryc. 1). Jest to region powszechnie znany z wydobycia rud polimetalicznych, a znajdujące się tam złoża można określić jako klasyczne – w rozumieniu światowym – lokalizacje mineralogiczne.

Większość prac na temat mineralizacji występującej na badanym obszarze skupia się na opisie mineralizacji pierwotnej (Lang, 1979, 1994; Grancea i in., 2002; Damian i in., 2008, 2020; Płotinskaja i in., 2009) oraz na badaniu koncentracji toksycznych pierwiastków w glebach, rośli-

nach i wodach powierzchniowych (Damian, 2006; Frentiu i in., 2008; Marin i in., 2009; Levei i in., 2010; Mihali i in., 2012; Roba i in., 2015). Tworząca się w opuszczonych wyrobiskach górnictwych mineralizacja wtóra nie doczekała się dotychczas kompleksowego opracowania.

LOKALIZACJA I BUDOWA GEOLOGICZNA OBSZARU BADAŃ

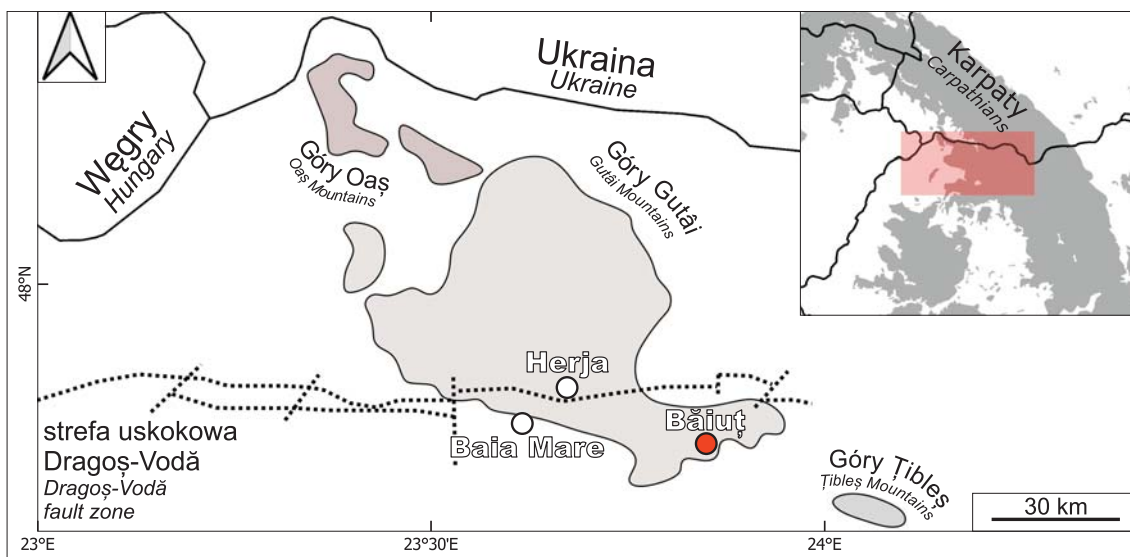
Kopalnia Breiner jest zlokalizowana na terenie dawnego ośrodka wydobywczego Băiuț, na obszarze górnictwym Băiuț-Tibleș należącym do prowincji metalogenicznej Herja-Băiuț w północnej części w Rumunii (ryc. 2). Wyróżnia się bogatą hydrotermalną mineralizacją siarczkową (siarczki/siarkosole Cu, Pb, Zn) i arsenową (głównie realgar) (Lang, 1979; Grancea i in., 2002). Żyły hydrotermalne zawierające mineralizację rudną są związane z wulkanitami przebijającymi utwory fliszowe, a ich przebieg jest skorelowany ze strefą uskokową Dragoș-Vodă. Największe znaczenie miały złoża Au, Cu (Damian i in., 2008).

W kopalni Breiner znajdują się kompleksy skał osadowych paleogenu i neogenu, wykształcone głównie pod postacią margli, piaskowców oraz łupków, w które wdarły się neogeńskie intruzje magmowe, reprezentowane przez andezyty i dioryty (ryc. 3). Sekwencje osadowe są poprzecinane przez zmineralizowane żyły kwarcowe Băiuț oraz Robu, które charakteryzują się bogatym inventarzem minerałów kruszcowych (m.in. piryt, sfaleryt, galena, chalokopiryty, markasyt, arsenopyryt, pirotyt, antymonit, elektrum). Żyły te były przedmiotem eksploatacji (Costin, 2000; Mariaş, 2005; Kovács, Tamas, 2017).

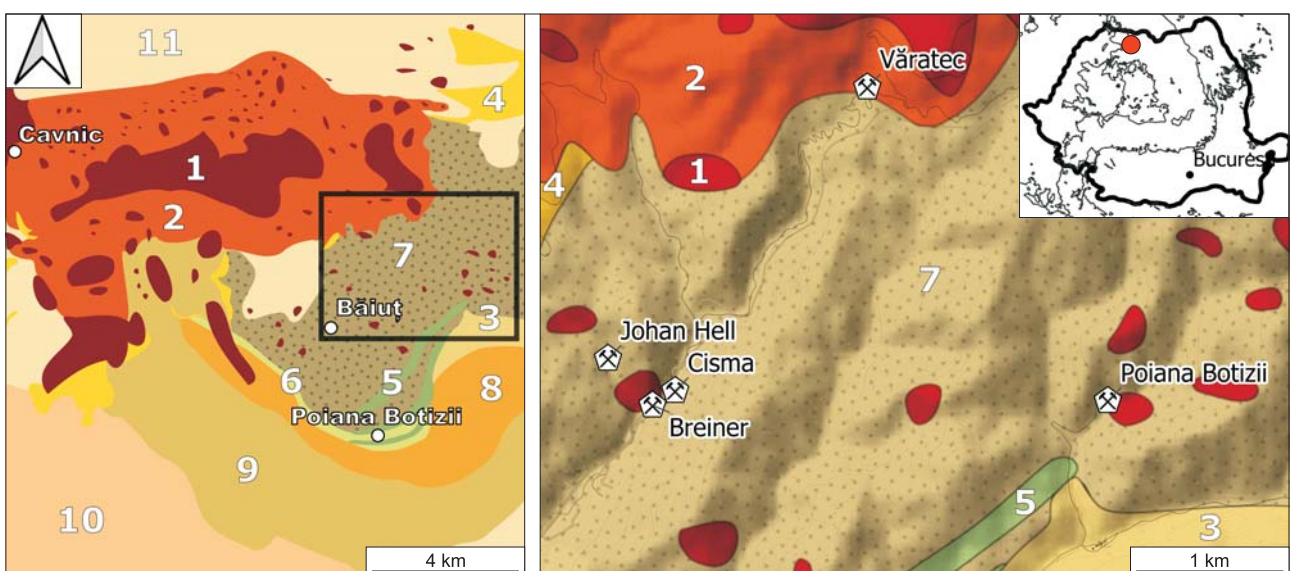
¹ Wydział Geologii, Uniwersytet Warszawski, ul. Żwirki i Wigury 93, 02-089 Warszawa; a.januszewska3@uw.edu.pl; rsiuda@uw.edu.pl; ORCID ID: A. Januszewska – 0000-0002-0444-2696, R. Siuda – 0000-0003-4153-8539

² Państwowy Instytut Geologiczny – Państwowy Instytut Badawczy, ul. Rakowiecka 4, 00-975 Warszawa; anna.januszewska@pgi.gov.pl

³ Instytut Nauk Geologicznych, Polska Akademia Nauk, ul. Twarda 51/55, 00-818 Warszawa; lkruszewski@twarda.pan.pl; ORCID ID: 0000-0001-6332-9944



Ryc. 1. Lokalizacja terenu badań (wg Damiana i in., 2008)
Fig. 1. Location of the research area (acc. to Damian et al., 2008)



Ryc. 2. Mapa geologiczna obszaru badań. 1 – andezyty (neogen); 2 – bazalty andezytowe (neogen); 3 – margle (neogen); 4 – piaskowce (neogen); 5 – osady fliszowe, margle, łupki (paleogen); 6 – osady fliszowe, piaskowce (paleogen); 7 – osady fliszowe, margle, łupki (paleogen); 8 – osady fliszowe, piaskowce (paleogen); 9 – wapienie (paleogen); 10 – piaskowce (paleogen); 11 – piaski (czwartorzęd). Źródło: <https://geoportal.igr.ro/>

Fig. 2. Geological map of the research area. 1 – andesites (Neogene); 2 – andesitic basalts (Neogene); 3 – marls (Neogene); 4 – sandstones (Neogene); 5 – flysch sediments, marls, shales (Paleogene); 6 – flysch sediments, sandstones (Paleogene); 7 – flysch sediments, marls, shales (Paleogene); 8 – flysch sediments, sandstones (Paleogene); 9 – limestones (Paleogene); 10 – sandstones (Paleogene); 11 – sands (Quaternary). Source: <https://geoportal.igr.ro/>

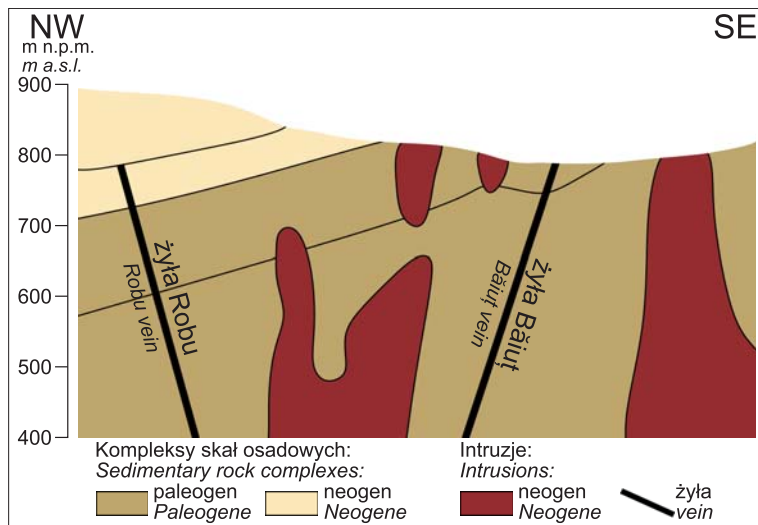
Kopalnia Breiner ma wielowiekową historię górniczą, a za jej rozpoczęcie uważa się średniowiecze. Zakończenie eksploatacji przypada na początek XX w., wtedy też zamknięto wiele innych kopalni z rejonu Baia Mare (Mariaš, 2005).

METODY BADAŃ

Próbki minerałów wtórnego zostały zebrane w kopalni Breiner w kilku charakterystycznych strefach, zdefiniowanych przez autorów po przeprowadzeniu badań terenowych. Strefa 1 charakteryzuje się występowaniem niebieskich (ryc. 4A) i zielonkawych (ryc. 4B) stalaktytów i stalagmitów melanterytu. Poszczególne nacieki mają

długość do powyżej 1 m. Prócz melanterytu znajdują się tam również brązowo-pomarańczowe nacieki schwertmannitu oraz nagromadzenia minerałów z grupy halotrichitu (ryc. 4C). W strefie 2, wzbogaconej w Zn, dominującym minerałem jest goslaryt, który tworzy naciekowe skupienia o długości dochodzącej do kilkunastu centymetrów (ryc. 4D). W kolejnej strefie na naciekowych skupieniach melanterytu krystalizują minerały z grupy halotrichitu (ryc. 4E, F).

Ze wszystkich stref pobrano próbki występujących tam minerałów, które zostały umieszczone w szczelnych pojemnikach w celu zabezpieczenia ich przed utratą wody krystalizacyjnej. Badania składu fazowego przeprowadzono metodą proszkowej dyfrakcji rentgenowskiej za

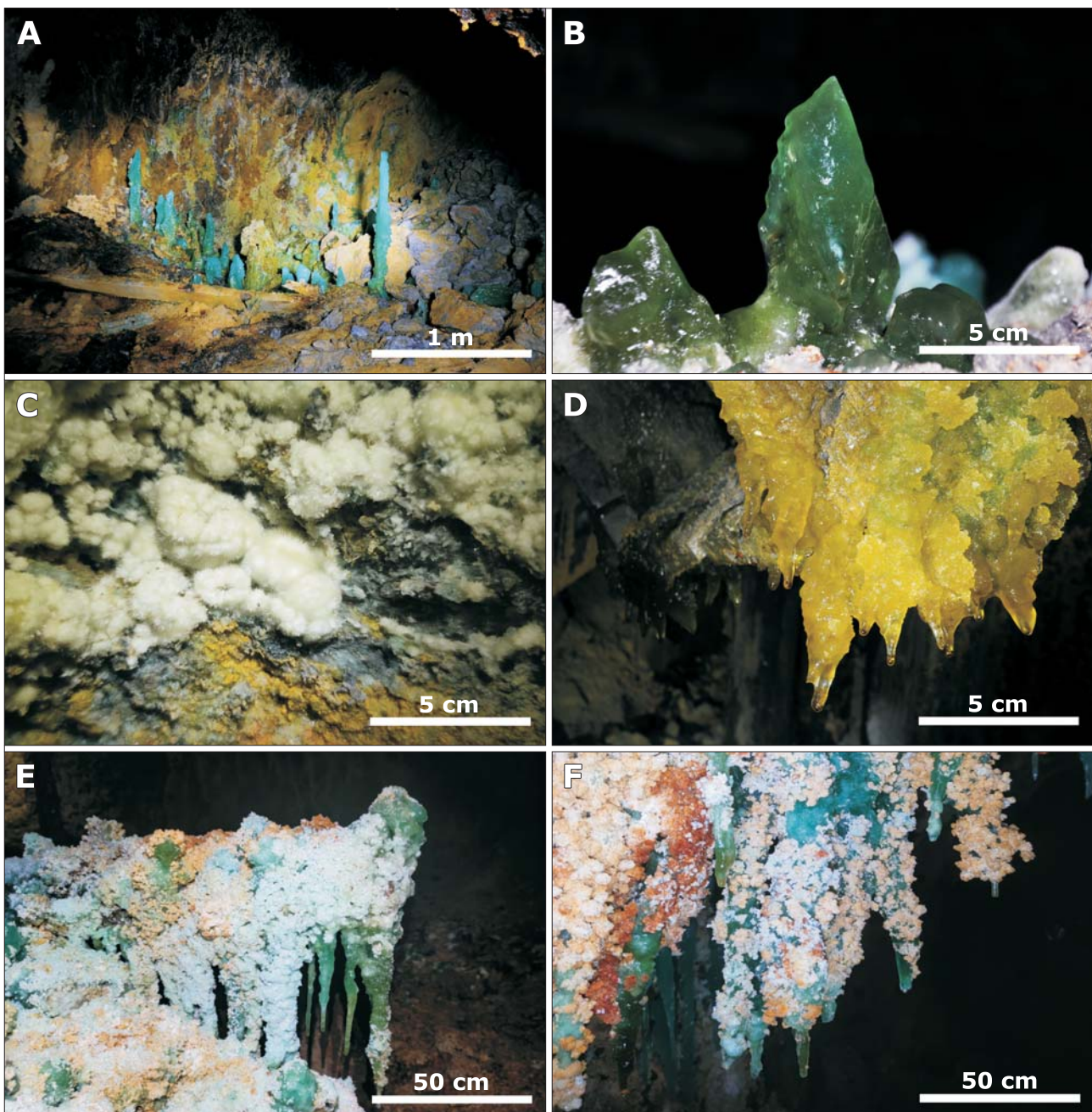


Ryc. 3. Przekrój geologiczny przez kopalnię Breiner (wg Costina, 2000)

Fig. 3. Geological cross-section through the Breiner mine (acc. to Costin, 2000)

Ryc. 4. Mineralizacja wtóarna z kopalni Breiner. A – stalagmity melanterytu, B – minerały z grupy halotrichitu, C – melanteryt, D – stalaktyty goslarystu, E, F – stalaktyty melanterytu pokryte wykwitami mineralów z grupy halotrichitu

Fig. 4. Secondary mineralization in the Breiner mine. A – stalagmites of melanterite, B – minerals of the halotrichite group, C – melanterite, D – stalactites of goslarite, E, F – stalactites of melanterite covered with minerals of the halotrichite group



pomocą dyfraktometru X'Pert Pro na Wydziale Geologii Uniwersytetu Warszawskiego, przy użyciu następujących parametrów prądu: 30 mA, 40 kV; anoda CoK α .

WYNIKI I DYSKUSJA

Badania dyfrakcyjne pozwoliły na zidentyfikowanie wielu minerałów powstacych wskutek procesów wietrzenia. Niektóre z nich nie były dotychczas znane ani z badanego obszaru, ani z terenu Rumunii (tab. 1).

W kopalni dominują minerały z grupy melanterytu i halotrichitu, które występują w każdej z trzech opróbowań stref. W strefie 1 stwierdzono występowanie faz rzadkich w skali świata, takich jak: zahertyt, tooeleit i wattevilleit. Strefa druga wyróżnia się obecnością minerałów cynkowych, tj. goslarytu, gunningitu oraz bianchytu. Oprócz tego stwierdzono schwertmannit oraz minerały bogate w Al – alunogen i bayeryt. W trzeciej strefie wystę-

puje głównie melanteryt, na którym narastają późniejsze wykwity minerałów z grupy halotrichitu. Oprócz tych dwóch dominujących faz stwierdzono tu również obecność, istotnych z punktu widzenia migracji toksycznego arsenu, minerałów z grupy farmakosyderytu.

W badanej strefie wietrzenia na uwagę zasługuje obecność tooeleitu. Minerał ten zawiera w swym składzie arsen na trzecim stopniu utlenienia, co wskazuje na wysoką aktywność jonów (AsO_3^{3-}) przy stosunkowo niskim pH (2,0–3,5) (Nishimura, Robins, 2008; Chai i in., 2016; Zhu i in., 2020). W procesie formowania tego minerału mogą brać udział również różnorodne szczepy bakterii, jak ma to miejsce w kopalni Carnoules we Francji (Morin i in., 2003). Również występowanie rzadkiego wattevilleitu wskazuje na warunki niskiego pH, przy jednoczesnym wysokim stężeniu jonów siarczanowych. Minerał ten jest bowiem opisywany z bogatych w siarczany ewaporatów (Archipow i in., 2015) i osadów jaskiniowych (White, 2017), gdzie

Tab. 1. Paragenezy minerałów wtórnych w kopalni Breiner
Table 1. Parageneses of secondary minerals in the Breiner mine

Nazwa próbki Sample name	Mineral Mineral	Wzór chemiczny Chemical formula	Liczba lokalizacji w skali świata minerałów rzadkich (źródło: mindat.org) The number of locations of rare minerals worldwide (source: mindat.org)
Strefa 1 – okolice komory melanterytowej / Zone 1 – around the melanteritic chamber			
B2, B2A, B4	grupa alunitu* / alunite group	$AD_3(XO_4)_2(OH)_6$	
B2A, B3	gips / gypsum	$\text{CaSO}_4 \cdot 2\text{H}_2\text{O}$	
B1	melanteryt* / melanterite	$\text{Fe}(\text{H}_2\text{O})_6\text{SO}_4 \cdot \text{H}_2\text{O}$	
B2	gibbsyt / gibbsite	$\text{Al}(\text{OH})_3$	
B5A, B5B	grupa halotrichitu* / halotrichite group	$MA\text{I}_2(\text{SO}_4)_4 \cdot 22\text{H}_2\text{O}$	
B4	schwertmannit / schwertmannite	$\text{Fe}^{3+}_{16}(\text{OH}, \text{SO}_4)_{12-13}\text{O}_{16} \cdot 10-12\text{H}_2\text{O}$	
B3	heksahydryt / hexahydrite	$\text{MgSO}_4 \cdot 6\text{H}_2\text{O}$	
B2	römeryt / römerite	$\text{Fe}^{2+}\text{Fe}^{3+}_2(\text{SO}_4)_4 \cdot 14\text{H}_2\text{O}$	
B4	tooeleit / tooeleite	$\text{Fe}^{3+}_6(\text{As}^{3+}\text{O}_3)_4(\text{SO}_4)(\text{OH})_4 \cdot 4\text{H}_2\text{O}$	10
B3	wattevilleit / wattevilleite	$\text{Na}_2\text{Ca}(\text{SO}_4)_2 \cdot 4\text{H}_2\text{O}$ (?)	6
B5A, B5B	zahertyt / zaherite	$\text{Al}_{12}(\text{SO}_4)_5(\text{OH})_{26} \cdot 20\text{H}_2\text{O}$	4
Strefa 2 – wzboagacona w mineralizacji Zn / Zone 2 – enriched with Zn mineralization			
BXV	goslaryt* / goslarite	$\text{ZnSO}_4 \cdot 6\text{H}_2\text{O}$	
B6, B7B	grupa alunitu* / alunite group	$AD_3(XO_4)_2(OH)_6$	
B6	gips / gypsum	$\text{CaSO}_4 \cdot 2\text{H}_2\text{O}$	
B6	melanteryt / melanterite	$\text{Fe}^{2+}(\text{H}_2\text{O})_6\text{SO}_4 \cdot \text{H}_2\text{O}$	
B7A	grupa halotrichitu / halotrichite group	$MA\text{I}_2(\text{SO}_4)_4 \cdot 22\text{H}_2\text{O}$	
B7B, B10	grupa rozenitu* / rozenite group	$M\text{S}\text{O}_4 \cdot 4\text{H}_2\text{O}$	
B7A	alunogen / alunogen	$\text{Al}_3(\text{SO}_4)_3 \cdot 17\text{H}_2\text{O}$	
B7B	gunningit / gunningite	$\text{ZnSO}_4 \cdot \text{H}_2\text{O}$	
B10	schwertmannit / schwertmannite	$\text{Fe}^{3+}_{16}(\text{OH}, \text{SO}_4)_{12-13}\text{O}_{16} \cdot 10-12\text{H}_2\text{O}$	
B10	bianchyt / bianchite	$\text{Zn}(\text{SO}_4) \cdot 6\text{H}_2\text{O}$	
B7A	alun-(Na) / alum-(Na)	$X\text{Al}(\text{SO}_4)_2 \cdot 12\text{H}_2\text{O}$	
B10	bayeryt / bayerite	$\text{Al}(\text{OH})_3$	
Strefa 5 – druga komora melanterytowa z wykwitami / Zone 5 – second melanteritic chamber with efflorescence			
B8A	gips / gypsum	$\text{CaSO}_4 \cdot 2\text{H}_2\text{O}$	
B8A	grupa farmakosyderytu / pharmacosiderite group	$K\text{Fe}^{3+}_4(\text{AsO}_4)_3(\text{OH})_4 \cdot 6-7\text{H}_2\text{O}$	
B8, B8A	melanteryt* / melanterite	$\text{Fe}^{2+}(\text{H}_2\text{O})_6\text{SO}_4 \cdot \text{H}_2\text{O}$	
B8	gibbsyt / gibbsite	$\text{Al}(\text{OH})_3$	
B8, B8A	grupa halotrichitu* / halotrichite group	$MA\text{I}_2(\text{SO}_4)_4 \cdot 22\text{H}_2\text{O}$	

* minerały dominujące / dominant minerals.

AD – wzór ogólny dla grupy / general formula for the group.

współwystępuje z siarczanami Na, Ca i Mg. Znany jest również z kwaśnych wód kopalnianych o pH > 5 (Fitzpatrick, 2006). Na warunki niskiego pH wskazuje również występowanie rzadko spotykanego na świecie zaherytu. Minerał ten jest znany ze stref rozkładu glinokrzemianów i krzemianów Al pod wpływem roztworów bogatych w jon siarczanowy (Ruotsala, Babcock, 1977; Schoch i in., 1985; Harris i in., 2003). Krystalizacja zaherytu jest uzależniona od deficytu alkaliów w środowisku (Schoch i in., 1985). W kopalni Breiner alkalia uwalniane podczas rozkładu plagioklazów obecnych w minerałach skałotwórczych są przechwytywane przede wszystkim przez minerały grupy alunitu oraz wattevilleit, co przyczynia się do powstania warunków sprzyjających formowaniu się zaherytu.

PODSUMOWANIE

Przeprowadzone badania wykazały obecność zróżnicowanych paragenes mineralnych, których powstanie jest związane z zachodzącymi współcześnie procesami utleniania siarczków. Dominującymi fazami są siarczany żelaza, cynku, glinu i magnezu. Minerałom tym towarzyszą rzadko spotykane tooeleit, wattevilleit oraz zaheryt. Skład fazowy zidentyfikowanych zespołów mineralnych pozwala na określenie warunków geochemicznych, w których zachodzi ich krystalizacja. Opisywane minerały tworzą się w kwaśnym środowisku o wysokiej aktywności jonów siarczanowych. Jony metali zawarte pierwotnie w minerałach kruszcowych wiążące są głównie w melanterycie, goslarcyce i minerałach z grupy halotrichitu. Źródłem Mg, Al, Na, Ca są minerały skałotwórcze, które ulegają rozkładowi w środowisku o niskim pH i wysokiej aktywności jonów siarczanowych. Uwalniane w tym procesie pierwiastki są wiązane przede wszystkim przez minerały grupy alunitu i halotrichitu.

Autorzy artykułu pragną wyrazić serdeczne podziękowania dla pani dr hab. Katarzyny Jarmołowicz-Szulc za poświęcenie swego czasu na przeprowadzenie recenzji artykułu naukowego. Doceniamy dokładne, wnikliwe oraz wartościowe uwagi, które wpłynęły na poprawę jakości niniejszej pracy.

LITERATURA

- ARCHIPOW A.L., IWANOWA M.O., TISZIN P.A. 2015 – Zonality and mineral association of modern evaporates in the South-Minusinsk basin by the example of Taloe lake and Ak-Kol lake (Khakassia Republic). Internat. Multidiscip. Sci. GeoConference: SGEM, 1 (537): 18–24.
- CHAIL L., YUE M., YANG J., WANG Q., LI Q., LIU H. 2016 – Formation of tooeleite and the role of direct removal of As(III) from high-arsenic acid wastewater. *J. Hazard. Material.*, 320: 620–627.
- COSTIN D. 2000 – Major Elements Geochemistry of the Breiner Baiut Ore Deposit (Gutai Mountains, Eastern Carpathians). *Stud. UBB Geol.*, 45 (1): 55–66.
- DAMIAN G., BUZATU A., APOPEI I.A., SZAKÁCS Z.L., DENUȚ I., IEPURE G., BÂRGĂOANU D. 2020 – Valentinit and Colloform Sphalerite in Epithermal Deposits from Baia Mare Area, Eastern Carpathians. *Minerals*, 10 (121): 1–19.
- DAMIAN G., CIÖBANU C.L., COOK N.J., DAMIAN F. 2008 – Bismuth sulphosalts from the galena-matildite series in the Cremenea vein, Șuior, Baia Mare district, Romania. *Neues Jahrb. Mineral.-Abhandl.*, 185 (2): 199–213.
- DAMIAN F., DAMIAN G. 2006 – Geochemical characterization of some old mine waste dumps from Baia Mare area and their influence on the natural vegetation. *Carpath. J. Earth Environ. Sci.*, 1 (2): 63–72.
- FITZPATRICK R. 2006 – Recent advances in formation mechanisms of minerals in precipitates, salt efflorescences and sulfidic materials in acid sulfate weathering environments. 18th ASS WCSS. Philadelphia, US.
- FRENTIU T., PONTA M., LEVEI E., GHEORGHIU E., BENEÀ M., CORDOS E. 2008 – Preliminary study on heavy metals contamination of soil using solid phase speciation and the influence on groundwater in Bozanta-Baia Mare Area, Romania. *Chem. Speciat. Bioavailab.*, 20 (2): 99–109.
- GRANCEA L., BAILLY L., LEROY J., BANKS D., MARCOUX E., MILÉSI J., CUNEA M., ANDRÉ A., ISTVAN D., FABRE C. 2002 – Fluid evolution in the Baia Mare epithermal gold/polymetallic district, Inner Carpathians, Romania. *Mineral. Deposit.*, 37 (6–7): 630–647.
- HARRIS D.L., LOTTERMOSER B.G., DUCHESNE J. 2003 – Ephemerall acid mine drainage at the Montalbion silver mine, north Queensland. *Austral. J. Earth Sci.*, 50 (5): 797–809.
- <https://geoportal.igr.ro/>
- KOVÁCS R., TAMAS CALIN. 2017 – Cu-sulfosalts in Băile Metalogennic Field, Baia Mare District, Gutai Mountains-preliminary scanning electron microscopy data. Conference Pap., 1–8.
- LANG B. 1979 – The base metals-gold hydrothermal ore deposits of Baia Mare, Romania. *Econom. Geol.*, 74 (6): 1336–1351.
- LANG B. 1994 – Ar-Ar dating of adularia – a tool in understanding genetic relations between volcanism and mineralization: Baia Mare area (Gutai Mountains), northwestern Romania. *Econom. Geol.*, 89: 174–180.
- LEVEI E., FRENTIU T., PONTA M., SENILA M., MCLEAN M., ROMAN C., CORDOS E. 2009 – Characterisation of soil quality and mobility of Cd, Cu, Pb and Zn in the Baia Mare area Northwest Romania following the historical pollution. *Inter. J. Environ. Analytic. Chem.*, 89 (8–12): 635–649.
- MARIAŞ Z.F. 2005 – Metallogeny of the Baia Mare mining district. An approach based on the Cavnic hydrothermal system, comparision with other epithermal systems in the world (in Romanian). Cornel. Publ. House, 378–450.
- MARIN C., TUDORACHE A., MOLDOVAN O. T., POVARA I., RAJKA G. 2010 - Assessing the contents of arsenic and of some heavy metals in surface flows and in the hyporheic zone of the Arieș stream catchment area, Romania. *Carpath. J. Earth Environ. Sci.*, 5 (1): 13–24.
- MIHALIĆ C., MICHNEA A., OPREA G., IOAN G., POP C., SENILA M., GRIGOR M. 2012 – Trace element transfer from soil to vegetables around the lead smelter in Baia Mare, NW Romania. *J. Food, Agricul. Environ.*, 10 (1): 828–834.
- MORIN G., JUILLOT F., CASIOT C., BRUNEEL O., PERSONNÉ J.-C., ELBAZ-POULICHE F., CALAS G. 2003 – Bacterial Formation of Toooleite and Mixed Arsenic(III) or Arsenic(V)-Iron(III) Gels in the Carnoulès Acid Mine Drainage, France. A XANES, XRD, and SEM Study. *Environ. Sci. Technol.*, 37 (9): 1705–1712.
- NISHIMURA T., ROBINS R. G. 2008 – Confirmation that toooleite is a ferric arsenite sulfate hydrate, and is relevant to arsenic stabilisation. *Mineral. Eng.*, 21(4): 246–251.
- PŁOTINSKAJA O., DAMIAN F., PROKOFIEW W., KOWALENKER W., DAMIAN G. 2009 – Tellurides occurrences in the Baia Mare region, Romania. *Carpath. J. Earth and Environ. Sci.*, 4 (2): 89–100.
- ROBA C., ROŞU C., PIŞTEA I., OZUNU A., BACIU C. 2015 – Heavy metal content in vegetables and fruits cultivated in Baia Mare mining area (Romania) and health risk assessment. *Environ. Sci. Pollut. Res.*, 23: 6062–6073.
- RUOTSALA A.P., BABCOCK L.L. 1977 – Zaherite, a new hydrated aluminum sulfate. *Americ. Mineralog.*, 62: 1125–1128.
- SCHOCH A.E., BEUKES G.J., PRAEKELT H.E. 1985 – A natroalumite-zaherite-hotsonite paragenesis from Pofadder, Bushmanland, South Africa. *Canad. Mineralog.*, 23 (1): 29–34.
- WHITE W.B. 2017 – Mineralogy of Mammoth Cave. Mammoth Cave: A Human and Natural History, 145–162.
- ZHU Z., ZHANG J., ZHU Y., LIU J., TANG S., ZHANG L., WANG Y. 2020 – Dissolution, Stability and Solubility of Toooleite $[Fe_6(AsO_3)_4(SO_4)(OH)_4 \cdot 4H_2O]$ at 25–45°C and pH 2–12. *Minerals*, 10 (921): 1–17.

Praca wpłynęła do redakcji 3.04.2023 r.
Akceptowano do druku 19.04.2023 r.